



**CAPÍTULO 5.**  
**EXCAVACIONES ARQUEOLÓGICAS**  
**EN ESTRUCTURAS TIPO "ÍMBRICE"**  
**(Zanjas s9 y s13)**

Esther Altamirano Toro

Elena Mata Vivar

Elisa Ogalla Mancheño

José Antonio Santamaría García

## CAPÍTULO 5. EXCAVACIONES ARQUEOLÓGICAS EN ESTRUCTURAS TIPO "ÍMBRICE" (ZANJAS S9 Y S13)

Gracias a los resultados aportados por la prospección geomagnética en 2009<sup>1</sup> (ver Cap.2.1.2), en el trazado de los fosos más exteriores (F1 y F2) del yacimiento se detectaron hasta cinco interrupciones en su recorrido que, inicialmente, fueron interpretadas como zonas de acceso o puertas del recinto. A su vez, acompañando a estas interrupciones y en la zona exterior de las mismas, se identificaron una serie de estructuras negativas con planta de arco de círculo, que parecían dificultar o entorpecer el paso al interior de los recintos, a modo de lo que conoce en el ámbito anglosajón como *fence*. Las denominamos en su momento "ímbrices" (Márquez-Romero et al. 2011: 183).

Cuando se pudieron realizar las Excavaciones en extensión en el sector L1 en 2013, la excavación del "ímbrice" localizado en la Puerta 1 permitió comprobar que, lo que parecía una única estructura, realmente estaba configurada por dos zanjas, las indicadas respectivamente como s9 y s13 (Figs. 1, 2, 4 y 5) (Suárez-Padilla et al. 2015: 283-284). Además, como veremos más adelante, los datos radiométricos obtenidos en ellas (ver Cap.7.5.3) han confirmado que, incluso, su construcción pudo no ser contemporánea. Estaríamos, por tanto, antes dos zanjas que compartirían una misma morfología y que coincidirían en el espacio, pero no en el tiempo.

Por tales motivos, formalmente, realizaremos la descripción de estas dos estructuras dentro de un mismo capítulo, pero de forma separada (ANEXO). Cabe apuntar también que ambas zanjas, a su vez, estaban cortadas parcialmente por una fosa de época moderna (f137) en cuyo interior se habían depositado materiales modernos, concretamente una gran estela y varios bloques de piedra (ver Cap.6.4.3).

<sup>1</sup> Los resultados de la investigación recogidos en este capítulo se realizaron en el marco de los siguientes proyectos HUM-4214; HAR2010-21610 y HAR2014-53692-P.

## 5.1. MORFOLOGÍA Y SECUENCIA ESTRATIGRÁFICA DE LAS ZANJAS S9 Y S13

### 5.1.1. Secuencia estratigráfica de la zanja s9

La denominada zanja s9, delimitada por la interfaz UE 317.1, tiene en planta forma de arco de círculo, excavado sobre el sustrato geológico (UE 110). Tiene sección en "V", un desarrollo longitudinal de algo más de 17 m y una anchura media de 1.09 m, con una profundidad de 1.30 m.

En los niveles más profundos se suceden hasta cinco depósitos de relleno horizontales, que apoyaban en las paredes de la zanja y que presentaron un ligero buzamiento en sentido norte (UEs 331, 330, 329, 327 -que no aparece en perfil- y 324=328) (Figs. 3 y 4). En líneas generales, estos depósitos, tienen matriz areno-arcillosa, con inclusiones tanto de geológico descompuesto como de piedras de tamaño pequeño y mediano. En todos ellos fue identificada la presencia de restos cerámicos y de fauna. Hasta aquí, aparentemente, los episodios deposicionales se sucedieron sin ningún indicio que nos mostrara alguna conexión más compleja entre los estratos. Sin embargo, es en este momento cuando se observa una anomalía que rompe esta dinámica, documentándose lo que parece ser una pequeña fosa, f142 (UE 326.1) que cortó a la unidad UE 324=328. El relleno de esta fosa (UE 326), igualmente de origen antrópico, presentó escasos restos arqueológicos más allá de algunos vestigios faunísticos y fragmentos cerámicos.

Llegados a este nivel, la zanja quedó colmatada por una última unidad de naturaleza antrópica, la UE 317. En lo que respecta al registro material, este estrato resultó ser uno de los más ricos puesto que, junto a los ya habituales conjuntos faunísticos y cerámicos, se documentaron fragmentos de malacofauna, carbón, industria lítica, fragmentos de nódulos de cuarzo y cantos rodados.





*Figura 2. Vista general de los ímbrices (s9 y s13)*

### 5.1.2. Secuencia estratigráfica de la zanja s13

Por su parte, la zanja s13 (UE 318.1) presenta en planta una fisonomía semejante a la zanja s9, con una sección en "V", una anchura de 0.45 m, un desarrollo longitudinal de 7 m y una profundidad de solo 0.80 m. La secuencia estratigráfica de esta estructura, sólo presentó tres episodios deposicionales que se apoyaban directamente sobre las estrechas paredes del geológico (Figs. 3 y 4).

El primero y más antiguo, la UE 332, consistió en un nivel de relleno con una potencia de 8 cm que presentó una matriz arenosa suelta sin inclusiones. En segundo lugar, y dispuesto sobre el anterior, encontramos otro depósito, la UE 322, con una potencia de 48 cm, y donde se pudieron documentar escasos restos de fauna y de amorfos cerámicos y sobre él, y cerrando la secuencia, la UE 318.

Una vez colmatadas y amortizadas ambas zanjas (s9 y s13), se documentó un nuevo episodio representado por la excavación de

una nueva fosa, f141. Su interfaz, (UE 315.1) se irá estrechando paulatinamente hacia el sur, cortando a los niveles superiores de colmatación de s9 y s13, las UEs 317 y 318. Se trata de una fosa alargada que presentaba una anchura de 1.34 m y 3.27 m de longitud máxima, y que cortaría, en parte, al tramo superior del sustrato geológico emergente (UE 110). Su relleno (UE 315), consisten en un depósito de 19 cm de potencia caracterizado por una matriz areno-arcillosa con inclusiones de piedras de pequeño y mediano tamaño y un alto porcentaje de bordes cerámicos. Sería el último episodio de cronología prehistórica documentado en la secuencia.

Finalmente, y como suele ser habitual en el yacimiento, todas las unidades estratigráficas serán cubiertas, ya en época histórica, por una capa de sedimento (UE 108) que finalmente acabaría constituyendo la matriz sobre las que se realizan las huellas de arado moderno (delimitadas por las interfaces UEs 312.1, 314.1, y 320.1).

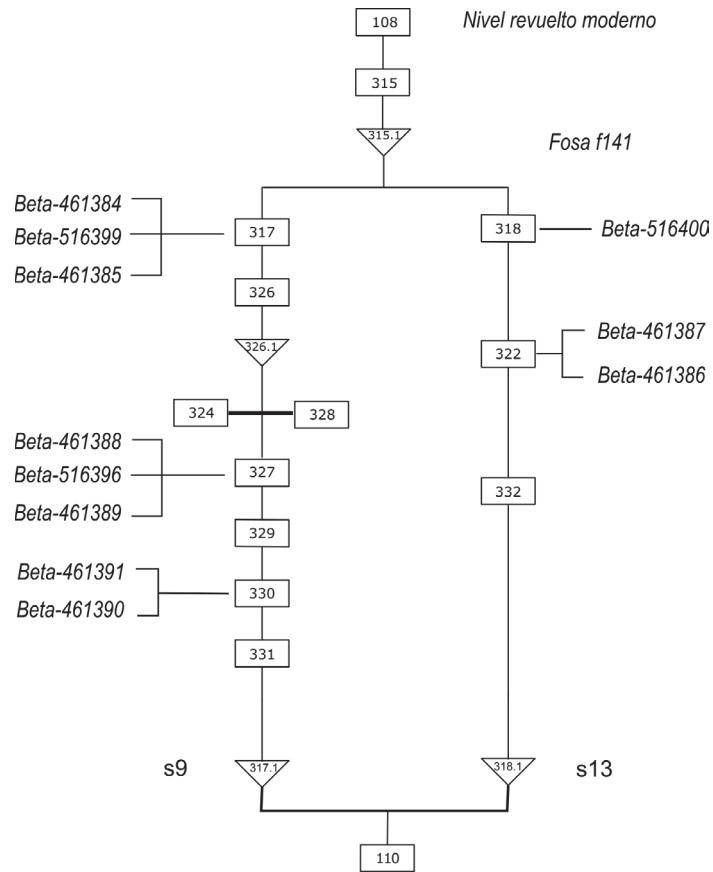


Figura 3. Diagrama estratigráfico (s9 y s13)

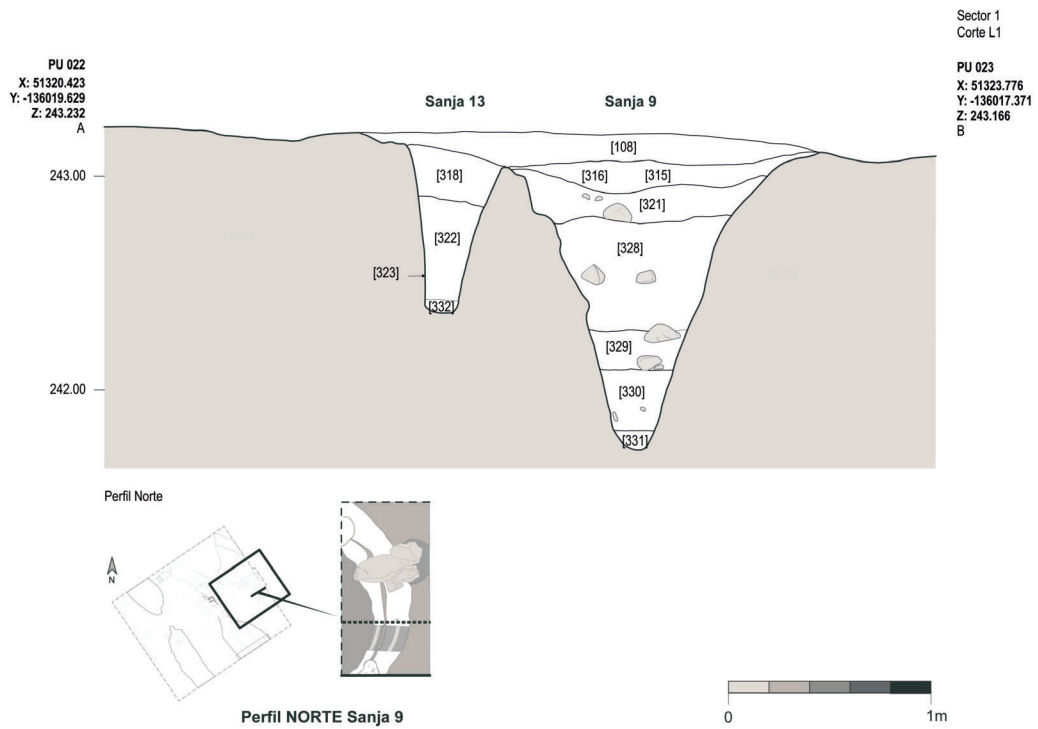


Figura 4. Sección de las estructuras tipo "ímbrice" (s9 y s13). Perfil N



*Figura 5. Vista general de las estructuras tipo "ímbrice" (s9 y s13).  
Al fondo estelas en la fosa f137 antes de ser retiradas*

## 5.2. CULTURA MATERIAL ZANJA S9

La cultura material recuperada de los depósitos de colmatación de la zanja s9 (Fig. 6) conforma un modesto conjunto donde están presentes fragmentos cerámicos de distinta tipología, con un total de 100 piezas, entre bordes de vasos cerámicos, pesas de telar y un alto porcentaje de elementos indeterminados (Tab.1). Por su parte, en la zanja s13 solo se pudieron recuperar algunos escasos fragmentos amorfos de recipientes cerámicos.

Siguiendo la tipología general del yacimiento (Valera, 1998) se pudo comprobar el predominio de las formas abiertas, especialmente del tipo plato/fuente, sobre otras cerradas, seguidos de cerca por las cazuelas.

En resumen, los resultados porcentuales del estudio cerámico serían los siguientes: el tipo mayoritario sería el t.1 (27%), seguido del t.4 (19%) y del el tipo t.2 (%). Igualmente, aunque con una representación más reducida, están presentes los tipos t.5 y t.7, ambos en un 2%, así como el tipo t.8, con un solo fragmento identificable. Asimismo, destaca la presencia de pesas de telar (10%). En este sentido, cuernecillos o crecientes están presentes en la mayoría de las unidades estratigráficas, a excepción de las UEs 318, 322 y 326. Suponen un porcentaje del 13% del total de los hallazgos cerámicos. Por otra parte, debemos destacar el alto porcentaje de fragmentos indeterminados (30%), que no pudieron ser adscritos a ningún tipo reconocible debido al alto grado de fragmentación de los mismos.

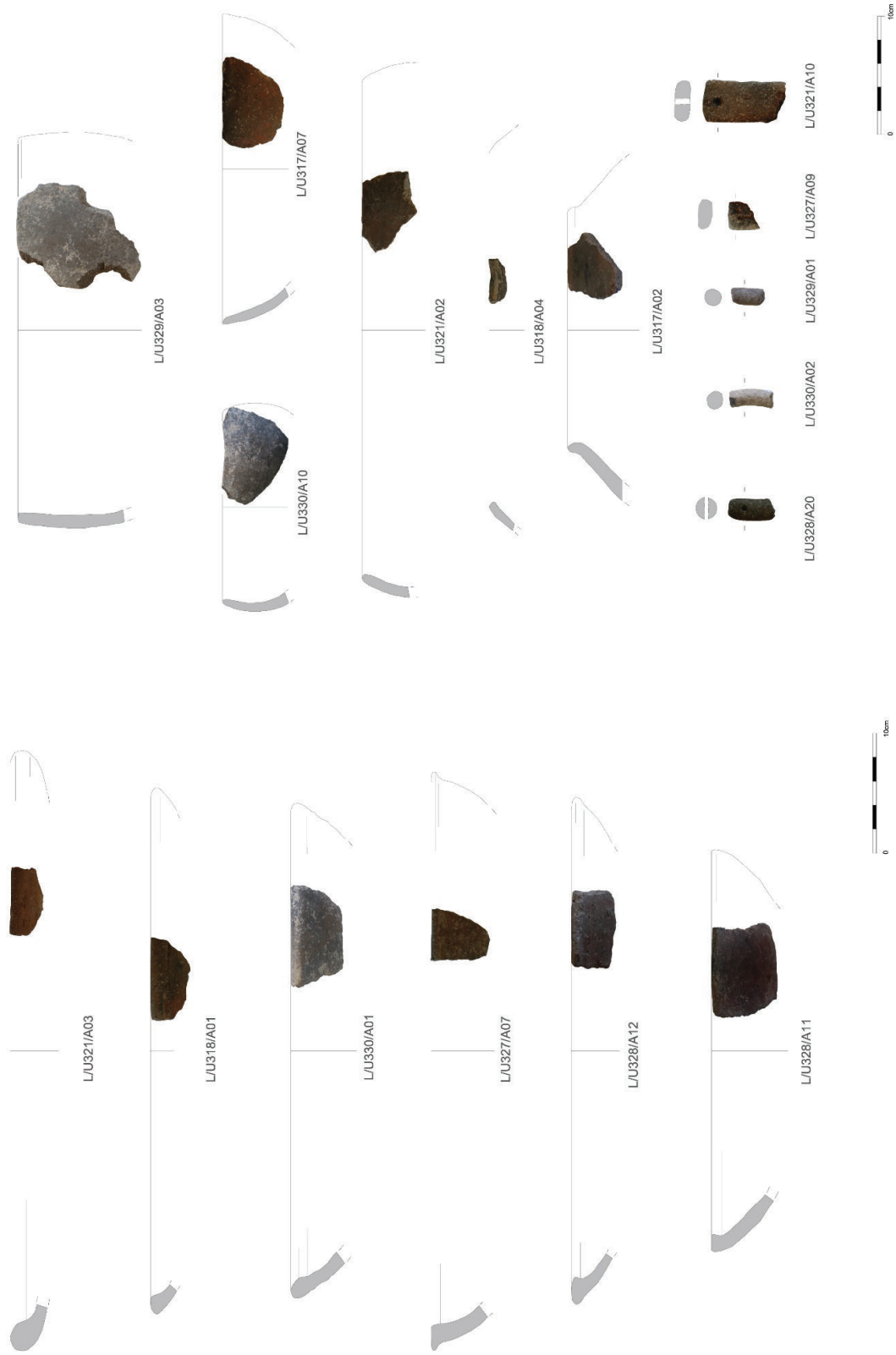


Figura 6. Selección de la cultura material procedente de la zanja S9

TABLA MORFOLÓGICA DE RECIPIENTES CERÁMICOS ZANJA S9		UE330	UE324	UE329	UE327	UE326	UE322	UE317	UE318	TOTAL
Plato genérico	1	2	10	2	3	1	0	7	2	27
Taza genérica	2	0	0	1	2	0	1	0	2	6
Cazuela genérica	4	5	2	1	2	1	0	7	1	19
Recipiente esférico genérico	5	1	1	0	0	0	0	0	0	2
Globulares	7	0	0	0	0	0	0	2	0	2
Vasos cuerpo superior truncocónico	8	0	0	0	0	0	0	0	1	1
Pesa de telar		2	4	1	1	0	0	2	0	10
Mamelón		0	0	0	0	0	0	1	0	1
Cuernecillo		1	0	0	0	0	0	1	0	2
Indeterminado		12	9	0	1	0	0	8	0	30
<b>TOTAL</b>		<b>23</b>	<b>26</b>	<b>5</b>	<b>9</b>	<b>2</b>	<b>1</b>	<b>28</b>	<b>6</b>	<b>100</b>

**Tabla 1.** Cerámica de la estructura s9. Distribución morfológica y por UES.

Respecto al análisis vertical del componente cerámico, no existen tendencias de mayor o menor concentración de materiales o tipos identificables según las unidades estudiadas. De hecho, tanto en los niveles más profundos como en los más superficiales se observa un predominio de los tipos t.1 y t.4, es decir, platos y cazuelas genéricas, así como un alto número de elementos indeterminados. Por último, señalar que el nivel de relleno de la base de la zanja, la UE 331, presentó un escaso número de hallazgos y una ausencia total de formas tipológicamente clasificables.

### 5.3. ANÁLISIS ARQUEOFAUNÍSTICO DE LA ZANJA S9

Al igual que ocurría con la presencia de la cultura material, en la zanja s13 la fauna es muy reducida. En la zanja s9 también resulta escasa. Aun así, se pudieron apuntar algunas características generales<sup>2</sup> (Tabla 2).

<sup>2</sup> Estudio arqueofaunístico realizado por Claudia Costa.

Por ejemplo, el 34.7% del total de los fragmentos pertenecen a restos de *Ovis/Capra* y el 21.7% a *Sus sp.* El resto corresponden a porcentajes irrelevantes de *Bos taurus*, *Equus sp.* y *Cervus elaphus*, ya que en ninguna de las especies documentadas el NMI supera el ejemplar.

### 5.4. CRONOLOGÍA DE LAS ZANJAS S9 Y S13

Analizaremos por separado las fechas de ambas estructuras.

#### 5.4.1. Cronología de la zanja s9

El estudio cronológico de la s9 sigue las líneas metodológicas detalladas con anterioridad (ver Cap. 2.3.4). Se enviaron un total de ocho muestras para su datación por radiocarbono al laboratorio *Beta Analytic* para su medición por AMS.

Fueron muestreados los niveles tanto inferiores como los superiores de la

Especies	Zanja s9		Zanja s13	
	NTR	NMI	NTR	NMI
<i>Equus</i> sp.	1	1		
<i>Cervus elaphus</i>	1	1		
<i>Bos taurus</i>	2	1	1	1
<i>Ovis/Capra</i>	8	1	1	1
<i>Sus</i> sp.	5	1	1	1
Mamíferos de medio porte	2			
Mamíferos de gran porte	2			
Indeterminados	2			
<b>TOTAL</b>	<b>23</b>	<b>5</b>	<b>3</b>	<b>3</b>

**Tabla 2.** Restos faunísticos procedentes de las estructuras tipo "ímbrice" (s9 y s13)

estructura. Detallaremos a continuación la naturaleza de cada una de las muestras y el contexto preciso en el que fueron extraídas. Se describen desde las UEs más profundas a las más superficiales (Tabla 3).

•**Beta-461390:** Recogida durante la campaña de 2013. UE 330. Corresponde a un depósito de colmatación de matriz areno-arcillosa de color marrón oscuro. En su interior predominan formas indeterminadas, platos, cazuelas cerradas y pesas de telar. Se apoya sobre la UE 331 y, a su vez, es cubierta por la UE 329.

•**Beta-461391:** UE 330. Se trata de una segunda muestra del mismo depósito.

•**Beta-461389:** Recogida en la campaña de 2013. UE 327. Se trata de un depósito de matriz areno-arcillosa muy compacta y de color marrón oscuro. Presenta inclusiones de piedras de pequeño y mediano tamaño. Abundan en él los platos y las pesas de telar. Descansa sobre la UE 329 y está cubierta por las UEs 324 y 328.

•**Beta-516396:** Recogida en la campaña de 2013. UE 327. Se trata de una segunda muestra del mismo depósito.

•**Beta-461388:** Recogida en la campaña de 2013. UE 327. Se trata de una tercera muestra del mismo depósito.

•**Beta-461385:** Recogida en la campaña de 2013. UE 317. Se trata de un depósito con matriz arenosa y compacta de color beige amarillento. Se caracterizan por la mayor presencia de formas abiertas, junto a un especial protagonismo de las pesas de telar o cuernecillos. Se apoya sobre la UE 326 y aparece cortada por la fosa f141.

•**Beta-516399:** Recogida en la campaña de 2013. UE 317. Se trata de una segunda muestra de este mismo depósito.

•**Beta-516384:** Recogida en la campaña de 2013. UE 317. Tercera muestra del depósito.

El modelo bayesiano permite afinar estadísticamente la datación de la estructura. Presenta  $A_{model}$  del 83,2 % y  $A_{overal}$  del 80,3 %, con una cota de inicio (*Boundary start*) entre el 2650-2460 cal. B.C. al 68%, o entre el 3070-2350 cal. B.C. al 95%, y una cota de finalización (*Boundary end*) entre el 2450-2260 cal. A.C. al 68% o entre el 2465-1825 cal. B.C. al 95%). Todo lo cual la sitúan, en términos generales, en un momento entre el segundo e inicios del tercer cuarto del III milenio cal. BC

Estructura	UE	Especie	Hueso	Laboratorio	$\delta^{13}C$	$\delta^{15}N$	%C	%N	C:N	BP	SD	68% cal. BC	95% cal. BC
s9	330	Ovis/Capra	Extr. Tras. Cal	Beta-461390	-20,3	6,2	38,62	13,82	3,3	4120	30	2860-2620	2870-2580
s9	330	Ovis/Capra	Mandíbula	Beta-461391	-20,0	5,9	41,10	14,79	3,2	3980	30	2570-2470	2580-2360
s9	327	Ovis/Capra	Diente M3 inf.	Beta-461389	-19,7	7,9	36,80	13,17	3,3	4160	30	2870-2680	2880-2630
s9	327	Ovis/Capra	N/A	Beta-516396	-19,2	7,8	36,44	12,90	3,3	4090	40	2850-2510	2870-2490
s9	327	Equus Sp.	Falange I	Beta-461388	-20,3	5,0	41,93	14,79	3,3	4030	30	2580-2480	2630-2470
s9	317	Ovis/Capra	Extr. Del. Sc	Beta-461385	-21,2	5,9	41,05	14,71	3,3	4000	30	2570-2470	2580-2460
s9	317	Ovis/Capra	Diente (incisivo)	Beta-516399	-20,5	5,9	39,96	14,06	3,3	3940	40	2560-2350	2570-2300
s9	317	Sus sp.	Diente C. Inf.	Beta-461384	-18,5	4,6	40,39	14,38	3,3	4000	30	2570-2470	2580-2460

Tabla 3. Dataciones absolutas obtenidas en el relleno de la estructura s9

#### 5.4.2. Cronología de la zanja s13

El estudio cronológico de la s13 sigue las líneas metodológicas detalladas para la s9. Del relleno de la zanja s13 se obtuvieron tres dataciones. Detallaremos a continuación la naturaleza de cada una de las muestras y el contexto preciso en el que fueron extraídas. Se describen desde las muestras obtenidas en las UEs más profundas a las más superficiales (Tab. 4).

•**Beta-461386:** Recogida en la campaña de 2013. UE 322. Se trata de un depósito con matriz arcillosa arenosa y semicompacta de color marrón pardusco. Descansa sobre la UE 332 y está cubierta por la UE 318.

•**Beta-461387:** UE 322. Se trata de la segunda muestra obtenida en este mismo depósito.

•**Beta-516400:** Recogida en la campaña de 2013. UE 318. Se trata de un depósito con matriz arenosa y compacta de color beige amarillento. Descansa sobre la UE 322 y está cubierta por la UE 108.

El modelo bayesiano, nos permite afinar la cronología del relleno de la estructura. Presenta  $A_{model}$  del 100 % y  $A_{overal}$  del 100,2%, y su cota de inicio (*Boundary start*) se sitúa entre el 2650-2460 cal. A.C. al 68% o 3070-2350 cal. A.C. al 95%, y su finalización (*Boundary end*) entre el 2450-2260 cal. A.C. al 68%, o entre el 2465-1825 cal. A.C. al 95%.

De este modo, si comparamos entre sí las zanjas s9 y s13 tras lo que se acaba de exponer para la datación de esta última, se puede proponer que la primera de ellas se rellenó antes que la segunda (ver Cap. 7.5.4).

Estructura	UE	Especie	Hueso	Laboratorio	$\delta^{13}C$	$\delta^{15}N$	%C	%N	C:N	BP	SD	68% cal. BC	95% cal. BC
s13	322	Ovis/Capra	Mandíbula	Beta-461386	-20,3	N/A	N/A	N/A	N/A	3890	30	2460-2340	2470-2240
s13	322	Sus sp.	Extr. Tras. Ast	Beta-461387	-19,8	4,2	39,71	14,27	3,2	3990	30	2570-2470	2580-2460
s13	318	Bos Taurus	N/A	Beta-516400	-21,3	6,3	40,11	14,07	3,3	3900	30	2460-2350	2470-2290

Tabla 4. Dataciones absolutas obtenidas en el relleno de la estructura s13

## BIBLIOGRAFIA

**BRONK-RAMSEY, C. (2009):** "Bayesian Analysis of Radiocarbon Dates". *Radiocarbon*, vol 51: 337-360.

**MÁRQUEZ-ROMERO, J. E.; VALERA, A. C.; BECKER, H.; JIMÉNEZ-JÁIMEZ, V. y SUÁREZ-PADILLA, J. (2011):** "El Complexo Arqueológico dos Perdígões (Reguengos de Monsaraz, Portugal). Prospecciones Geofísicas – Campaña 2008-09". *Trabajos de Prehistoria* 68 (1): 175-186.

**REIMER, P. J., AUSTIN, W. E. N., BARD, E., BAYLISS, A., BLA.C.KWELL, P. G., BRONK RAMSEY, C., BUTZIN, M., CHENG, H., EDWARDS, R. L., FRIEDRICH, M., GROOTES, P. M., GUILDERTSON, T. P.HAJDAS, I., HEATON, T. J., HOGG, A. G., HUGHEN, K. A., KROMER, B., MANNING, S. W., MUSCHELER, R., PALMER, J. G., PEARSON, C., PLICHT, J. VAN DER, REIMER, R. W., RICHARDS, D. A., SCOTT, E. M., SOUTHON, J. R., TURNEY, C. S. M., WA.C.KER, L., ADOLPHI, F., BÜNTGEN, U., CAPANO, M., FAHRNI, S. M., FOGTMANN-SCHULZ, A., FRIEDRICH, R., KÖHLER, P., KUDSK, S., MIYAKE, F., OLSEN, J., REINIG, F., SAKAMOTO, M., SOOKDEO, A., & TALAMO, S. (2020).** "The IntCal20 Northern Hemisphere Radiocarbon Age Calibration Curve (0 55 cal kBP)". *Radiocarbon*, 62 (4), 725 757.

**SUÁREZ-PADILLA, J.; CARO-HERERRO, J.L.; MATA-VIVAR, E.; MÁRQUEZ-ROMERO, J.E. CUEVAS-ALBADALEJO, P.; JIMÉNEZ-JÁIMEZ, V. Y MILESI-GARCÍA, L. (2015):** "Excavaciones de la Universidad de Málaga (UMA) en el entorno de la Puerta 1 del yacimiento de Perdígões (Reguengos de Monsaraz, Portugal). Campaña de 2013". *VII Encuentro de Arqueología del Suroeste Peninsular, Noviembre- Diciembre de 2013, Aroche- Serpa*: 279-298.

**VALERA, A. C. (1998):** "Análise da componente cerâmica". En Lago, M; Duarte, C.; Valera, A.; Albergaria, J.; Almeida, F. y Carvalho, A. F (eds.): *O povoado dos Perdígões (Reguengos de Monsaraz): dados preliminares dos trabalhos arqueológicos realizados em 1997. Revista portuguesa de Arqueologia*, 1, número 1, IPA, Lisboa: 80-104.

## ANEXO: Relación de UEs identificadas en el relleno de las zanjas 9 y 13 y fosa 134

UE	ESTRUCTURA	DESCRIPCIÓN	Relaciones ESTRATIGRÁFICAS	COTA (Z) m.s.n.m.
110		Depósito de naturaleza geológica. Compuesto de gabros y dioritos. Estéril.	Es cortado por cada una de las estructuras negativas documentadas en el sector L1. Cubierto por la UE 108.	Techo: 242.98 m.
317.1	Zanja 9	Interficie negativa tipo zanja. Excavada sobre el geológico de base. Perfil en V.	Corta a la UE 110. Colmatada por la secuencia estratigráfica de la zanja 9. Cubierta por la UE 108.	Techo: 243.14 m. Muro: 242.94 m.
331	Zanja 9	Depósito de naturaleza antrópica. Matriz arenosa y color marrón claro. Muchas inclusiones de geológico descompuesto.	Colmata a la UE 317.1. Cubierta por la UE 330.	Techo: 242.82 m. Muro: 242.73 m.
330	Zanja 9	Depósito de naturaleza antrópica. Matriz areno arcillosa suelta. Color marrón oscuro.	Colmata a la UE 317.1. Cubierta por la UE 329. Cubre a la UE 331.	Techo: 242.07 m. Muro: 242.82 m.
329	Zanja 9	Depósito de naturaleza antrópica. Matriz arenosa, color marrón claro. Inclusiones de geológico descompuesto.	Colmata a la UE 317.1. Cubierta por UE 327. Cubre a UE 330.	Techo: 242.19 m. Muro: 242.07 m.
327	Zanja 9	Depósito de naturaleza antrópica. No llega a documentarse en el perfil norte. Matriz arenosa arcillosa y compacta. Color marrón oscuro. Inclusiones de piedras de pequeño y mediano tamaño.	Colmata a la UE 317.1. Cubierta por UE 324 y la UE 328. Cubre UE 329. Perfil Norte: no llega a documentarse.	Techo: 242.68 m. Muro: 242.44 m.
324	Zanja 9	Depósito de naturaleza antrópica. Matriz arcillosa y compacta. Color marrón oscuro. Inclusiones de mampuestos de pequeño tamaño.	Colmata a la UE 317.1. Igualada a la UE 328. Es cortada por la UE 326.1. Cubre a la UE 327.	Techo: 242.78 m. Muro: 242.68 m.
328	Zanja 9	Depósito de naturaleza antrópica. Igual a UE 324. Matriz arcillosa y compacta. Color marrón claro. Inclusiones de mampuestos de pequeño tamaño.	Colmata a la UE 317.1. Igualada a la UE 324. Es cortada por la UE 326.1. Cubre a la UE 327.	Techo: 242.78 m. Muro: 242.68 m.

UE	ESTRUCTURA	DESCRIPCIÓN	Relaciones ESTRATIGRÁFICAS	COTA (Z) m.s.n.m.
326.1	<i>Fosa 142. Fosa interior zanja 9.</i>	Interficie negativa tipo fosa. Excavada en los depósitos de colmatación de la zanja 9 (mitad sur).	Corta a las UEs 324 y 328 y es colmatado por la UE 326.	Techo: 242.85 m. Muro: 242.68 m.
326	<i>Fosa 142. Fosa interior zanja 9.</i>	Depósito de naturaleza antrópica. Matriz arenosa y compacta. Color amarillento y marrón claro. Abundantes inclusiones de mica.	Colmata a la UE 326.1. Cubierto por la UE 317.	Techo: 242.85 m. Muro: 242.68 m.
317	<i>Fosa 142. Fosa interior zanja 9.</i>	Depósito de naturaleza antrópica. Localizada en el perfil sur y en la zona central. Matriz arenosa compacta. Color beige amarillento.	Cubre a la UE 326 y es cortada por la UE 315.1	Techo: 243.16 m. Muro: 242.85 m.
318.1	<i>Zanja 13</i>	Interficie negativa tipo zanja. Excavada sobre el geológico de base. Perfil en U.	Corta a la UE 110. Colmatada por la secuencia estratigráfica de la zanja 13. Cubierta por la UE 108.	Techo: 243.14 m. Muro: 242.94 m.
332	<i>Zanja 13</i>	Depósito de naturaleza antrópica. Matriz arenosa y color marrón claro.	Colmata a la UE 318.1. Cubierta por la UE 322.	Techo: 242.44 m. Muro: 242.36 m.
322	<i>Zanja 13</i>	Depósito de naturaleza antrópica. Matriz arcillosa-arenosa semi compacta. Color marrón parduzco.	Colmata a la UE 318.1 Cubierta por la UE 318. Cubre a la UE 332.	Techo: 242.92 m. Muro: 242.44 m.
318	<i>Zanja 13</i>	Depósito de naturaleza antrópica. Localizada en el perfil norte. Matriz arenosa compacta. Color beige amarillento.	Colmata a la UE 318.1. Es cortada por la interficie 315.1. Cubre a la 322.	Techo: 242.99 m. Muro: 242.92 m.
315.1	<i>Fosa 141</i>	Interficie negativa tipo fosa. Excavada en los últimos depósitos de colmatación de las zanjas s9 y s13.	Corta a las UEs 110, 317 y 318. Es colmatada por la UE 315.	Techo: 243.14 m. Muro: 242.94 m.

UE	ESTRUCTURA	DESCRIPCIÓN	Relaciones ESTRATIGRÁFICAS	COTA (Z) m.s.n.m.
315	<i>Fosa 141</i>	Depósito de naturaleza antrópica. Matriz areno arcillosa y color gris. Inclusiones de pequeño y mediano tamaño.	Colmata a la UE 315.1. Cubierta por la UE 108. Cortada por las UEs 312.1, 314.1 y 320.1.	Techo: 243.14 m. Muro: 242.94 m.
108	<i>Nivel revuelto</i>	Depósito de naturaleza antrópica. Estrato terrígeno revuelto generalizado en todo el yacimiento. Cronología contemporánea. Generado como consecuencia de las remociones de tierras contemporáneas (1997).	Cubre a todos los niveles arqueológicos preservados del sector L1.	Superficie.
312.1	<i>Fosa 203. Marca de arado.</i>	Interficie de marca de arado.	Corta a las UEs 108 y 110.	Techo: 243.03 m. Muro: 243.02 m.
312	<i>Fosa 203. Marca de arado.</i>	Depósito de colmatación. Material arqueológico descontextualizado.	Colmata a la UE 312.1	Techo: 243.03 m. Muro: 243.02 m.
314.1	<i>Fosa 204. Marca de arado.</i>	Interficie de marca de arado.	Corta a las UEs 108 y 110.	Techo: 243.16 m. Muro: 243.06 m.
314	<i>Fosa 204. Marca de arado.</i>	Depósito de colmatación. Material arqueológico descontextualizado.	Colmata a la UE 314.1.	Techo: 243.16 m. Muro: 243.06 m.
320.1	<i>Fosa 205. Marca de arado.</i>	Interficie de marca de arado.	Corta a las UEs 108 y 110.	Techo: 243.08 m. Muro: 242.98 m.
320	<i>Fosa 205. Marca de arado.</i>	Depósito de colmatación. Material arqueológico descontextualizado.	Colmata a la UE 320.1.	Techo: 243.08 m. Muro: 242.98 m.